



FAG

23948-K-MB [↗](#)

Радиальный сферический роликоподшипник

Радиальный сферический роликоподшипник 239...-K-MB, симметричный, 3 борта

Техническая информация

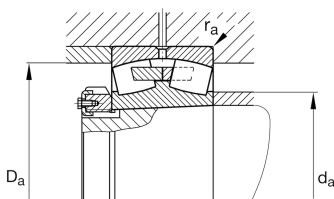


Ваш текущий вариант продукта

Исполнение отверстия	K	Коническое, 1:12
Cage	MB	Латунный сепаратор, массивный
Радиальный зазор	CN (Group N)	Normal internal clearance
Relubrication facility	Standard	Стандарт

Основные размеры и рабочие характеристики

d	240 mm	Диаметр отверстия
D	320 mm	Наружный диаметр
B	60 mm	Ширина
C _r	640.000 N	Динамическая грузоподъемность, радиальная
C _{0r}	1.370.000 N	Статическая грузоподъемность, радиальная
C _{ur}	96.000 N	Предел усталостной нагрузки, радиальный
n _G	2.440 1/min	Предельная частота вращения
n _{gr}	1.310 1/min	Номинальная тепловая частота вращения
m	12,97 kg	Вес





Присоединительные размеры

$d_{a \min}$	250,2 mm	Мин. диаметр заплечика вала
$D_{a \max}$	309,8 mm	Макс. диаметр заплечика корпуса
$r_{a \max}$	2,1 mm	Макс. радиус галтели
$d_{a \max}$	261 mm	Макс. диаметр заплечика вала
$d_{b \min}$	250 mm	Мин. диаметр под втулку
$B_{a \min}$	11 mm	Мин. глубина под втулку

Габаритные размеры

r_{\min}	2,1 mm	Мин. размер монтажной фаски
D_1	297,8 mm	Диаметр отверстия наружного кольца
d_s	6,3 mm	Диаметр смазочного отверстия
n_s	12,2 mm	Width of lubricating groove

Диапазон температур

T_{\min}	-30 °C	Мин. рабочая температура
T_{\max}	200 °C	Макс. рабочая температура

Коэффициенты для расчета

e	0,17	Предельное значение F_a/F_g для применимости различн. значений коэффициентов X и Y
Y_1	4,05	Динамический коэффициент осевой нагрузки
Y_2	6,04	Динамический коэффициент осевой нагрузки
Y_0	3,96	Статический коэффициент осевой нагрузки

Дополнительная информация

H3948	Закрепительная втулка
АН3948	Withdrawal sleeve



Характеристики

-  Радиальная нагрузка
-  Осевая нагрузка в одном направлении
-  Осевая нагрузка в обоих направлениях
-  Смазывание пластичной смазкой
-  Смазывание маслом
-  Без уплотнений
-  Крупногабаритный подшипник
-  Статические угловые и линейные несоосности
-  Динамические угловые и линейные несоосности